作品类别: ☑软件设计 □硬件制作 □工程实践

## 《密码学导论》课程大作业作品设计报告

作品题目: 混沌置乱的循环阶分析 团队人员: 王嘉宇

2024年6月8日

## 基本信息表

作品题目: 混沌置乱的循环阶分析

作品内容摘要:

本文探讨了混沌置乱在信息安全领域中的应用和潜在价值。我们首 先介绍了混沌系统的基本原理和特征,重点讨论了Logistic映射(还 有Henon映射、Ikeda映射、Gingerbreadman映射)作为一种常见的 混沌系统。用程序对混沌置乱进行了分析,重点分析了平均阶随N 的变化。然后,我们分析了混沌置乱的安全性,着重从循环长度和 周期性、种子的敏感性、平均循环长度的变化以及对抗攻击的能力 等方面进行了测试和分析。通过性能分析,我们评估了程序的时间 复杂度、空间复杂度和潜在的性能瓶颈,并提出了优化建议。最后, 我们对混沌置乱的研究成果进行了总结,并展望了其在信息安全领 域的应用前景。

关键词(五个):混沌映射、置乱表、平均阶、安全性、Logistic 映射

## 团队成员(按在作品中的贡献大小排序):

序号	姓名	学号	任务分工
1	王嘉宇	PB22071415	作品功能与性能说明、设计与实现方案、撰
			写代码、功能与性能测试。

# 目录

1	作品	占功能与性能说明	1			
	1.1	功能说明	1			
	1.2	性能说明	2			
2	设计与实现方案					
	2.1	硬件框图	3			
	2.2	软件流程	3			
3	实现原理					
	3.1	软件流程图	3			
	3.2	相关描述	4			
		3.2.1 理论知识	4			
		3.2.2 实验设计	9			
	3.3	参考文献	10			
	3.4	运行结果	11			
	3.5	技术指标	12			
4	系统测试与结果					
	4.1	测试方案	13			
	4.2	功能测试结果	14			
	4.3	性能测试方案及结果	17			
5	应用	前景	20			
6	结论		20			
7	附录		21			

## 1 作品功能与性能说明

混沌理论在数据加密和置乱领域的应用背景源自于其随机性和复杂性特征。 混沌理论指出,一些非线性动态系统可能表现出看似随机、无序的行为,但实际 上是由一组确定性的微分方程所描述的。这种行为使得混沌系统具有良好的随 机性和不可预测性,从而为数据加密和置乱提供了一种新的思路。

在数据加密中,混沌理论被应用于生成密钥或者混淆数据。通过混沌系统产生的随机序列可以作为密钥,用于对数据进行加密。由于混沌系统的随机性质,生成的密钥具有高度的复杂性和不可预测性,使得破解加密变得更加困难。另外,混沌系统还可以用于数据置乱。通过混沌系统生成的随机序列可以用作数据置乱的参数,对数据进行重新排列或者混淆,增加数据的安全性和隐私性。由于混沌系统的非线性和复杂性,置乱后的数据具有高度的混乱性,使得攻击者难以还原原始数据。

基于此,我们编写一个程序生成置乱表,并评测该置乱表的循环情况。例如,固定 N 使用不同种子生成多个置乱表,计算平均的阶;绘制"平均阶-N"的曲线;分析其安全性。我们使用了 4 种不同类型的混沌映射完成上述测评。

下面是具体的代码功能与性能说明:

## 1.1 功能说明

代码的主要功能是通过高级混沌映射(如 Logistic 映射)生成混沌置乱表,并分析置乱表中的循环圈性质。具体功能如下:

### 1. 生成混沌序列:

• 使用 Logistic 映射生成一个长度为 N 的混沌序列, 经过 M 次迭代以避免初始的非混沌状态。

#### 2. 生成置乱表:

• 将生成的混沌序列排序, 生成置乱表(即排列)。

### 3. 查找循环圈:

• 根据生成的置乱表, 查找并记录所有循环圈。

#### 4. 计算循环性质:

• 计算并输出循环圈的唯一长度、每种长度的循环数量和总循环长度 (使用最小公倍数)。

### 5. 计算平均循环长度:

• 对多个种子生成的置乱表进行平均循环长度的计算。

## 6. 绘制平均循环长度与 N 的关系曲线:

绘制不同 N 值下的平均循环长度曲线,以便分析置乱表的循环性质随 N 变化的情况。

## 1.2 性能说明

### 1. 时间复杂度:

- Logistic 映射生成混沌序列的时间复杂度为 O(M+N)。
- 生成置乱表的时间复杂度为 $O(N \log N)$  (由于排序操作)。
- 查找循环圈的时间复杂度为O(N)。
- 计算循环性质的时间复杂度主要取决于循环圈的数量和长度,通常也 在 O(N) 以内。

### 2. 空间复杂度:

- 混沌序列和置乱表的空间复杂度均为 O(N)。
- 其他辅助数据结构(如 visited 数组和 cycles 列表)的空间复杂度也为 O(N)。

#### 3. 性能分析:

- 对于较小的 N 值, 代码的性能较好, 能够在短时间内完成计算。
- 随着 N 值的增大,排序和循环查找的时间开销增加,性能可能下降。
- 平均循环长度的计算需要对多个种子进行多次计算,进一步增加了时间开销。

## 2 设计与实现方案

## 2.1 硬件框图

由于本作业主要涉及软件开发,硬件环境要求较低。假设使用的是一台普通的 PC 机,配置如下:

• CPU: Intel i5 或以上

• 内存: 8GB 或以上

• 操作系统: Windows、Linux 或 macOS

• 主要开发环境: Python 3.7+

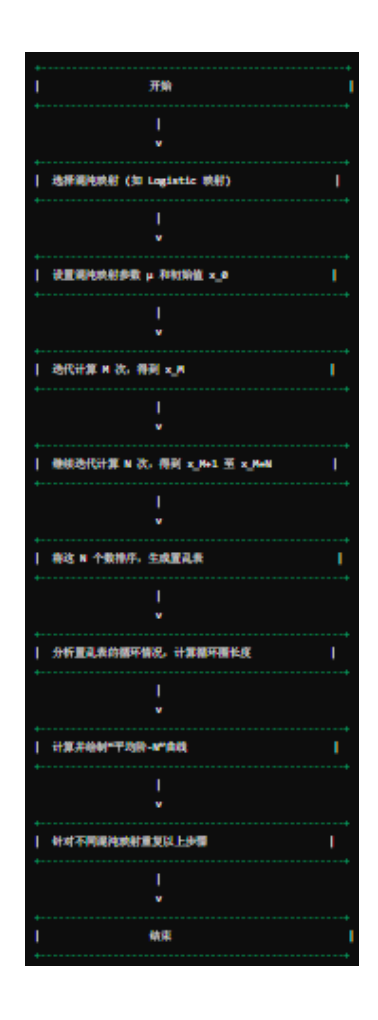
## 2.2 软件流程

- 1. 初始化混沌映射参数(如 Logistic 映射中的  $\mu$  值和初始值  $x_0$ )
- 2. 生成初始混沌序列
- 3. 根据混沌序列生成置乱表
- 4. 查找并记录循环圈
- 5. 计算循环圈的长度及其性质
- 6. 重复以上步骤, 生成多个种子的置乱表并计算平均循环长度
- 7. 绘制平均循环长度与 N 值的关系曲线

## 3 实现原理

## 3.1 软件流程图

刚才我们已经进行了详细的描述,具体的软件流程图如下:



## 3.2 相关描述

### 3.2.1 理论知识

#### 混沌映射理论基础

(r)决定了系统的行为,不同的(r)值会导致不同的动态特性。当(r)较小时,系统可能会收敛到一个稳定的值;而当(r)较大时,系统可能会表现出周期性或混沌行为。决定了系统的行为,不同的(r)值会导致不同的动态特性。当(r)较小时,系统可能会收敛到一个稳定的值;而当(r)较大时,系统可能会表现出周期性或混沌行为。

### Logistic 映射原理

Logistic 映射是一种常见的混沌系统,其原理基于一个简单的非线性差分方程。这个方程描述了一个种群在时间上的变化,具体形式如下:

$$x_{n+1} = r \cdot x_n \cdot (1 - x_n) \tag{1}$$

Logistic 映射的原理可以通过以下步骤来理解:

- 初始条件: 选择一个初始种群密度  $(x_0)$ , 通常在 0 和 1 之间。
- **迭代计算**: 使用上述差分方程迭代计算下一个时间步的种群密度 ( $x_{n+1}$ ), 依次进行, 直到达到所需的时间步数或者达到稳定状态。使用上述差分方程迭代计算下一个时间步的种群密度 ( $x_{n+1}$ ), 依次进行, 直到达到所需的时间步数或者达到稳定状态。
- 控制参数(r)决定了系统的行为,不同的(r)值会导致不同的动态特性。 当(r)较小时,系统可能会收敛到一个稳定的值;而当(r)较大时,系统 可能会表现出周期性或混沌行为。

Logistic 映射的主要特征包括:

- 周期倍增: 随着控制参数(r)的增加,系统可能会经历周期倍增的现象,即周期性解的周期会以二次、四次等倍增的方式增加。
- **混沌行为**:在一定的参数范围内,系统可能会表现出混沌行为,即看似随机、无序的动态行为。这种行为在参数 *r* 大于约 3.57 时开始显现。

### 不同 r 值下的行为

- -0 < r < 1: 系统最终收敛到零。
- 1 < r < 3: 系统收敛到一个固定点,种群密度稳定在某个值。
- -3 < r < 3.57: 系统开始表现出周期性行为,经历周期倍增现象,最终进入混沌状态。
- -r > 3.57: 系统进入混沌状态,表现出复杂的动态行为。尽管存在混沌行为,某些特定的 r 值下仍可能出现短暂的周期性行为(称为周期窗口)。
- -r=4: 系统表现出完全混沌行为,每个  $x_n$  的值在 [0,1] 之间均匀分布。
- **分岔图**: 分岔图展示了系统在不同 r 值下的长期行为。通过绘制  $x_n$  在稳定状态下随 r 变化的图,可以观察到周期倍增和混沌现象的出现。这是一种 直观的方式来展示系统如何随着控制参数的变化从有序到混沌。

#### 典型的参数设置:

•  $\mu = 3.9$ 

#### 应用:

Logistic 映射不仅是一个数学模型,还具有实际应用价值,例如:

- 生物学中的种群动力学研究。
- 物理学中的非线性现象和混沌研究。
- 计算机科学中的随机数生成和加密算法。

## Henon 映射原理

Henon 映射是一种常见的二维混沌系统,其定义如下:

$$\begin{cases} x_{n+1} = y_n + 1 - ax_n^2 \\ y_{n+1} = bx_n \end{cases}$$
 (2)

其中:

- $x_n$  和  $y_n$  是系统在第 n 次迭代时的状态变量。
- a 和 b 是系统的控制参数,常见的取值为 a = 1.4 和 b = 0.3。

#### Henon 映射的原理:

Henon 映射的原理可以通过以下步骤来理解:

- 初始条件: 选择初始状态  $(x_0, y_0)$ , 通常在适当的范围内(例如, [-1.5, 1.5] 之间)。
- 迭代计算: 使用 Henon 映射的方程迭代计算下一个时间步的状态:

$$\begin{cases} x_{n+1} = y_n + 1 - ax_n^2 \\ y_{n+1} = bx_n \end{cases}$$
 (3)

依次进行计算,直到达到所需的时间步数或者达到稳定状态。

• 控制参数 (a 和 b): 这两个参数决定了系统的行为。对于不同的参数值,系统可以表现出不同的动态特性,包括稳定点、周期轨道和混沌行为。

#### Henon 映射的主要特征:

• **固定点和周期轨道**:对于某些参数值,系统可能收敛到一个固定点或周期轨道,即状态变量在若干次迭代后重复出现。

- **混沌行为**:在一定的参数范围内,系统可能表现出混沌行为,即看似随机、 无序的动态行为。这种行为通常通过相图(phase space)观察。
- **吸引子**: Henon 映射的一个重要特征是 Henon 吸引子,这是一个奇异吸引子,在混沌状态下呈现出复杂的分形结构。

### 典型的参数设置:

- a = 1.4
- b = 0.3

这组参数通常用于展示 Henon 映射的混沌行为。

## Ikeda 映射原理

Ikeda 映射是一个典型的二维混沌系统,其定义如下:

$$\begin{cases} x_{n+1} = 1 + u(x_n \cos(t_n) - y_n \sin(t_n)) \\ y_{n+1} = u(x_n \sin(t_n) + y_n \cos(t_n)) \end{cases}$$
(4)

其中:

$$t_n = \kappa - \frac{\lambda}{1 + x_n^2 + y_n^2} \tag{5}$$

- $x_n$  和  $y_n$  是系统在第 n 次迭代时的状态变量。
- $u \times \kappa$  和  $\lambda$  是系统的控制参数。

#### Ikeda 映射的原理:

Ikeda 映射的原理可以通过以下步骤来理解:

- 初始条件: 选择初始状态  $(x_0, y_0)$ ,通常在适当的范围内(例如,[-1.5, 1.5] 之间)。
- 迭代计算: 使用 Ikeda 映射的方程迭代计算下一个时间步的状态:
- **控制参数**: 这些参数决定了系统的行为。通过调整这些参数,可以观察到系统从有序到混沌的转变。

$$\begin{cases} x_{n+1} = 1 + u(x_n \cos(t_n) - y_n \sin(t_n)) \\ y_{n+1} = u(x_n \sin(t_n) + y_n \cos(t_n)) \end{cases}$$
 (6)

其中, $t_n = \kappa - \frac{\lambda}{1 + x_n^2 + y_n^2}$  依次进行计算,直到达到所需的时间步数或者达到稳定状态。

## Ikeda 映射的主要特征:

- **周期轨道**:对于某些参数值,系统可能收敛到一个周期轨道,即状态变量 在若干次迭代后重复出现。
- **混沌行为**:在一定的参数范围内,系统可能表现出混沌行为,即看似随机、 无序的动态行为。
- **吸引子**: Ikeda 映射的一个重要特征是 Ikeda 吸引子,这是一个奇异吸引子, 在混沌状态下呈现出复杂的分形结构。

## 典型的参数设置:

- u = 0.9
- $\kappa = 0.4$
- $\lambda = 6.0$

这组参数通常用于展示 Ikeda 映射的混沌行为。

### Gingerbreadman 映射原理

Gingerbreadman 映射是一个二维混沌系统,其定义如下:

$$\begin{cases} x_{n+1} = 1 - y_n + |x_n| \\ y_{n+1} = x_n \end{cases}$$
 (7)

其中,  $x_n$  和  $y_n$  是系统在第 n 次迭代时的状态变量。

## Gingerbreadman 映射的原理:

Gingerbreadman 映射的原理可以通过以下步骤来理解:

- 初始条件: 选择初始状态  $(x_0, y_0)$ , 通常在适当的范围内(例如, [-2, 2] 之间)。
- 迭代计算: 使用 Gingerbreadman 映射的方程迭代计算下一个时间步的状态:

$$\begin{cases} x_{n+1} = 1 - y_n + |x_n| \\ y_{n+1} = x_n \end{cases}$$
 (8)

依次进行计算, 直到达到所需的时间步数或者达到稳定状态。

## Gingerbreadman 映射的主要特征:

- 混沌行为: 系统展示出典型的混沌行为, 状态变量随着迭代次数的增加表现出复杂的、不规则的轨迹。
- **吸引子**: Gingerbreadman 映射具有一个姜饼人形状的吸引子,在相图中呈现出独特的分形结构。

### 循环阶与循环圈定义

在密码学中,置乱表的循环阶和循环圈是衡量其安全性的重要指标。置乱表可以看作一个置换,将元素重新排列。对于一个长度为N的置乱表,每个元素的位置经过多次应用置换后最终会回到初始位置,这种回到初始位置的最小次数称为该置换的循环阶。

一个循环圈是指在置换操作下,一组元素按照一定顺序循环回到原始位置。 例如,如果置乱表将第一个元素移到第二个位置,第二个元素移到第三个位置, 第三个元素移到第一个位置,那么这三个元素形成一个循环圈。

**置换群与循环阶的数学基础:**置换群是指在数学中,所有可能的置换(排列)所形成的群。每个置换可以分解成若干个不相交的循环圈。置乱表的循环阶即为这些循环圈长度的最小公倍数(LCM)。

#### 3.2.2 实验设计

在本实验中,我们选定了四种不同的混沌映射类型,包括 Logistic 映射、Henon 映射、Ikeda 映射和 Gingerbreadman 映射。我们将固定置乱表长度 N,使用不同种子生成多个置乱表,以评估它们的循环情况。迭代次数 M 和置乱表长度 N 的取值范围如下:

• 迭代次数 *M*: 1000

• 置乱表长度 N: 100

为了计算置乱表的循环阶,需要执行以下步骤:

- 1. 初始化所有元素的访问状态为 False。
- 2. 从第一个未访问的元素开始,记录其初始位置。

- 3. 追踪当前元素在置乱表中的下一个位置,直到回到起始位置,形成一个循环圈,记录这个循环圈的长度。
- 4. 更新所有经过的元素为已访问状态。
- 5. 重复步骤2到4, 直到所有元素都被访问。
- 6. 计算所有循环圈长度的最小公倍数, 作为置乱表的循环阶。

根据我们之前的分析,我们可以依据步骤写出代码,以 Logistic 映射为例,功能描述如下:

- Logistic 映射生成序列:  $logistic_map(seed, mu, M, N)$  函数使用 Logistic 映射 生成长度为 N 的混沌序列。
- 生成置乱表: generate permutation (sequence) 函数对混沌序列进行排序并生成置乱表。
- 查找循环圈: findcycles(permutation) 函数找到置乱表中的所有循环圈。
- 计算循环性质: calculate cycle properties (cycles) 函数计算循环圈的长度、种类、数量和总的循环阶。
- 计算平均循环阶:  $average_cycle_length(N, seeds, mu, M)$  函数使用不同的种子计算平均循环阶。
- 绘制 "平均阶-N" 曲线: $plot_average_cycle_length(N_values, seeds, mu, M)$  函数 绘制 "平均阶-N" 的曲线。

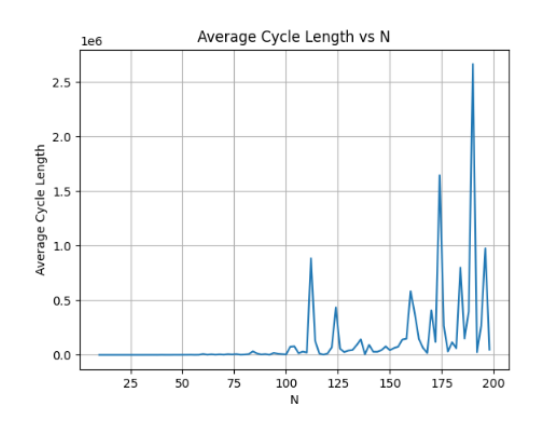
最终输出"平均阶-N"的曲线。

## 3.3 参考文献

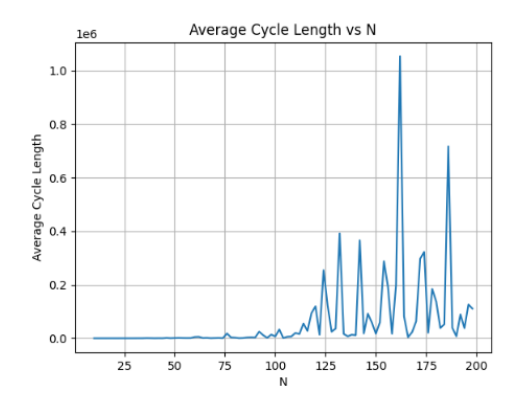
- 1. Sprott, Julien Clinton. *Chaos and Time-Series Analysis*. Oxford University Press, 2003. ISBN 0-19-850840-9.
- Strogatz, Steven. Nonlinear Dynamics and Chaos. Perseus Publishing, 2000. ISBN 0-7382-0453-6.
- 3. Tufillaro, Nicholas; Tyler Abbott; Jeremiah Reilly. *An experimental approach to nonlinear dynamics and chaos*. Addison-Wesley New York, 1992. ISBN 0-201-55441-0.

## 3.4 运行结果

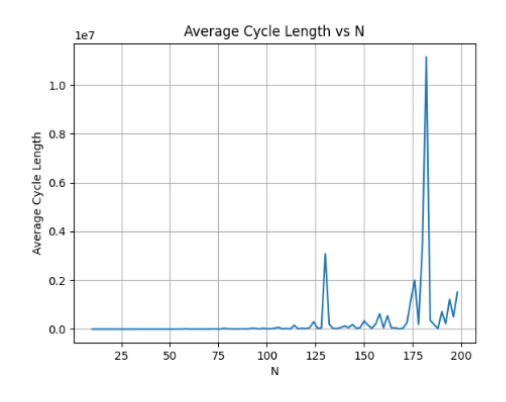
以 Logistic 映射为例,运行结果如图:



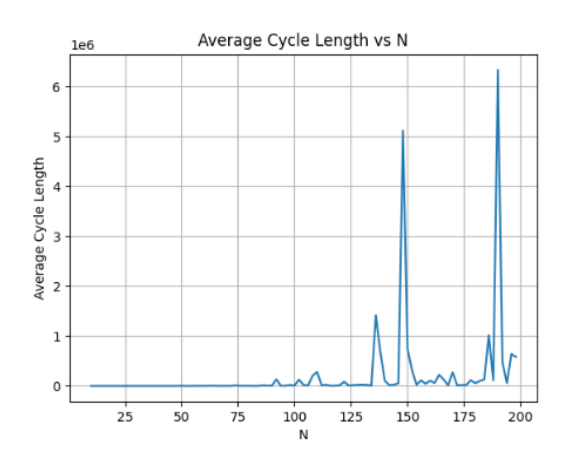
同样的,我们可以得到 Henon 映射:



Ikeda 映射:



Gingerbreadman 映射:



## 3.5 技术指标

我们可以从以下角度进行分析混沌置乱的技术指标:

### 周期性和循环长度:

混沌映射生成的置乱表具有复杂的周期性结构。通过计算置乱表的循环圈 长度和总的循环长度,可以评估其随机性和复杂度。混沌置乱的安全性主要依赖 于以下几点:

- 1. **循环长度的多样性**: 置乱表中具有不同长度的循环圈,说明置乱表具有较高的随机性和复杂度。较长的循环长度和更多的不同长度的循环圈能够有效防止预测和重现。
- 2. **总的循环长度:** 总的循环长度越长,说明混沌置乱的周期越长,对于攻击者来说,更难以预测和破解。

## 种子的敏感性:

不同的初始种子(初始值)生成的置乱表是不同的,即使是微小的变化也会导致完全不同的置乱结果。这种对初始条件的高度敏感性(混沌特性)使得攻击者难以通过已知信息推测或还原出原始种子,从而提高了安全性。

#### 平均循环长度的变化:

通过绘制"平均循环长度-N"的曲线,可以观察到随着 N 的增加,平均循环长度的变化趋势。这有助于理解不同规模的置乱表的安全性:

• **平滑增长**:如果平均循环长度随着 N 的增加平滑增长,说明置乱表的复杂 度随着规模的增加而增加,难以预测和攻击。

• **剧烈波动**:如果平均循环长度表现出剧烈波动,说明系统具有复杂的动态特性,增加了攻击者的分析难度。

## 对抗攻击的能力:

混沌置乱由于其高随机性和复杂性,对以下攻击具有较强的对抗能力:

- 统计分析攻击: 由于置乱表的循环长度多样且复杂,难以通过统计分析找到有用的规律。
- 暴力破解攻击:对初始种子和控制参数的敏感性使得暴力破解变得非常困难,需要尝试的参数空间非常大。
- **已知明文攻击**:即使攻击者知道一部分置乱结果,由于混沌系统的高度敏感性,仍难以推测出其他部分或还原初始参数。

## 4 系统测试与结果

## 4.1 测试方案

根据技术指标板块的内容,我们可以从循环长度和周期性、种子的敏感性、平均循环长度的变化以及对抗攻击的能力四个方面来对程序进行测试。

首先循环长度和周期性、平均循环长度的变化是程序中已经涵盖的部分,我们可以直接就程序的运行结果进行分析。

对于测试种子敏感度对程序的影响,我们可以添加函数:

```
def test_seed_sensitivity(seed, mu, M, N, epsilon=1e-5):
2
       sequence1 = logistic_map(seed, mu, M, N)
3
       permutation1 = generate_permutation(sequence1)
4
5
       sequence2 = logistic_map(seed + epsilon, mu, M, N)
6
       permutation2 = generate_permutation(sequence2)
7
8
       different_positions = np.sum(permutation1 != permutation2)
       print(f"Sensitivity Test:\nSeed: {seed} and {seed + epsilon}")
10
       print(f"Different Positions: {different positions} out of {N}")
```

以及测试语句:

```
test_seed_sensitivity(seed=0.5, mu=3.9, M=1000, N=100)
```

对于对抗攻击的能力测试,我们也可以添加相关的函数:

```
1
   def test_attack_resistance(seed, mu, M, N):
2
       sequence = logistic_map(seed, mu, M, N)
3
       permutation = generate_permutation(sequence)
4
5
       known_permutation = permutation[:N//2]
6
       predicted_permutation = np.argsort(sequence)[:N//2]
8
       correct_predictions = np.sum(known_permutation == predicted_permutation)
9
       print(f"Attack Resistance Test:\nSeed: {seed}")
10
       print(f"Correct Predictions: {correct predictions} out of \{N//2\}")
```

### 以及测试语句:

```
test_attack_resistance(seed=0.5, mu=3.9, M=1000, N=100)
```

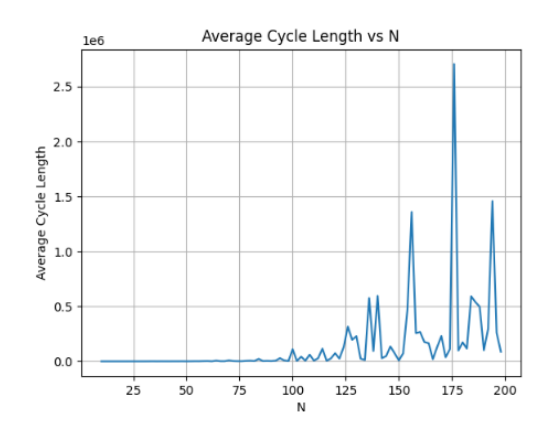
## 4.2 功能测试结果

首先以Logistic 映射为例,我们可以得到运行结果。这里截取部分:

```
1
   Seed: 0.6041326731591506
2 | Unique Cycle Lengths: {1, 67, 4, 7, 42, 10, 14, 23, 29}
   Number of Cycles for Each Length: {1: 2, 67: 1, 4: 1, 7: 1, 42: 1, 10: 1,
       14: 1, 23: 1, 29: 1}
   Total Cycle Length: 18769380
   Seed: 0.3661407029668593
 5
   Unique Cycle Lengths: {1, 2, 99, 4, 90}
   Number of Cycles for Each Length: {1: 1, 2: 2, 99: 1, 4: 1, 90: 1}
   Total Cycle Length: 1980
9
   Seed: 0.14698216209818238
10 Unique Cycle Lengths: {2, 99, 7, 8, 14, 54}
   Number of Cycles for Each Length: {2: 1, 99: 1, 7: 3, 8: 1, 14: 1, 54: 1}
11
12 | Total Cycle Length: 16632
   Seed: 0.4120953335923835
13
14
   Unique Cycle Lengths: {4, 39, 44, 50, 61}
   Number of Cycles for Each Length: {4: 1, 39: 1, 44: 1, 50: 1, 61: 1}
16
   Total Cycle Length: 2616900
17
   Seed: 0.7235933605820507
18
   Unique Cycle Lengths: {2, 5, 191}
19
   Number of Cycles for Each Length: {2: 1, 5: 1, 191: 1}
  Total Cycle Length: 1910
   Seed: 0.6400178875587516
21
22
  Unique Cycle Lengths: {198}
23 Number of Cycles for Each Length: {198: 1}
```

```
24
   Total Cycle Length: 198
25
   Seed: 0.6477341551259065
26
  Unique Cycle Lengths: {1, 2, 37, 19, 52, 86}
27
   Number of Cycles for Each Length: {1: 2, 2: 1, 37: 1, 19: 1, 52: 1, 86: 1}
28
   Total Cycle Length: 1571908
29
   Seed: 0.8756919328972953
30
   Unique Cycle Lengths: {1, 8, 9, 10, 111, 16, 19, 22}
31
   Number of Cycles for Each Length: {1: 3, 8: 1, 9: 1, 10: 1, 111: 1, 16: 1,
       19: 1, 22: 1}
32
   Total Cycle Length: 5567760
   Seed: 0.36734904605631324
33
34
   Unique Cycle Lengths: {113, 1, 78, 6}
35 Number of Cycles for Each Length: {113: 1, 1: 1, 78: 1, 6: 1}
36 Total Cycle Length: 8814
```

## 以及获得的平均阶图像:



我们可以得到直观的结论:循环长度较长,并且随着 N 的增加,平均阶呈折线形增长。并且系统具有复杂的动态特性,混沌置乱效果较好。

而对于种子敏感度测试, 我们得到结果:

```
Sensitivity Test:
Seed: 0.5 and 0.50001
Different Positions: 100 out of 100
```

### 分析:

- **高度敏感性:** 当种子从 0.5 变化到 0.50001 时,生成的置乱表在所有 100 个位置上都不同。这表明 Logistic 映射对初始条件具有极高的敏感性。
- 安全性优势: 这种高度敏感性意味着即使攻击者只知道一个接近的初始种子值,也无法预测或重现正确的置乱表。这使得通过已知的部分信息来推断剩余部分变得非常困难,提高了置乱表的安全性。

## 对于对抗攻击能力测试, 我们得到结果:

1 Attack Resistance Test:

2 | Seed: 0.5

3 | Correct Predictions: 0 out of 50

### 分析:

- 强抗攻击性: 在已知前 50 个置乱索引的情况下, 预测的正确索引数量为 0。 这意味着通过已知的一部分置乱信息, 无法正确推测出其余的置乱信息。
- 混沌特性: 这一结果反映了混沌置乱系统的复杂性和不可预测性。即使攻击者拥有部分已知的置乱结果,也难以利用这些信息进行有效的预测或破解。

### 综合分析:

## 1. 循环长度和周期性:

混沌置乱生成的置乱表具有复杂的周期性结构,多样的循环长度和较长的总循环长度,这意味着其随机性和复杂度较高,不容易被预测和重现。

#### 2. 种子的敏感性:

高度敏感性确保了初始种子的小变化会导致完全不同的置乱结果,增加了攻击者通过已知信息反推出初始种子的难度。

### 3. 平均循环长度的变化:

• 平均循环长度随 N 的增加而增大, 混沌置乱效果良好。

#### 4. 对抗攻击的能力:

• 混沌置乱对统计分析攻击和已知明文攻击具有强抗性。攻击者难以通过部分已知信息或统计分析找到有效的破解方法。

我们对其他三种混沌高级映射采取相同的分析方法,可以得到相同的结果, 在我们选取的参数范围内,四种高级混沌映射差别不大,混沌效果 Logistic 映射 较好。

证明, 我们的程序性功能测试结果理想, 功能良好。

## 4.3 性能测试方案及结果

对这段代码进行性能分析, 主要关注以下几个方面:

- 1. 时间复杂度:分析每个函数的时间复杂度,特别是涉及循环和递归的部分。
- 2. **空间复杂度**:评估程序运行过程中所需的内存,特别是生成和存储大规模数据结构时。
- 3. 瓶颈识别:确定哪些部分可能会成为性能瓶颈,并进行优化。

### 具体分析方案:

## 时间复杂度分析

- logistic\_map 函数: 计算序列的时间复杂度为 O(N+M), 其中 M 是迭代次数, N 是序列长度。
- generate\_permutation 函数: 生成置乱表的时间复杂度为  $O(N \log N)$ , 因为排序的时间复杂度为  $O(N \log N)$ 。
- find\_cycles 函数: 查找循环的时间复杂度为 O(N), 因为每个元素只访问一次。
- calculate\_cycle\_properties 函数: 计算循环性质的时间复杂度为 O(C) , 其中 C 是循环的总数。
- average\_cycle\_length 函数: 对多个种子进行上述操作的时间复杂度为  $O(S(N \log N + N + M))$ , 其中 S 是种子的数量。
- plot\_average\_cycle\_length 函数: 绘图的时间复杂度主要取决于循环的 次数和调用 average\_cycle\_length 函数的时间复杂度。
- test\_seed\_sensitivity函数:生成两个序列并比较的时间复杂度为 $O(N \log N)$ 。
- test\_attack\_resistance 函数: 生成一个序列并进行预测的时间复杂度 为  $O(N \log N)$ 。

## 空间复杂度分析

- logistic\_map 函数:存储序列的空间复杂度为O(N)。
- generate\_permutation 函数:存储置乱表的空间复杂度为 O(N)。
- find\_cycles 函数:存储循环的空间复杂度为 O(N)。

- calculate\_cycle\_properties 函数: 存储循环性质的空间复杂度为 O(C).
- average\_cycle\_length 函数:存储所有种子结果的空间复杂度为 O(SN)。
- plot\_average\_cycle\_length 函数:存储所有 N 值结果的空间复杂度为 O(N)。
- test\_seed\_sensitivity 函数:存储两个序列和置乱表的空间复杂度为O(2N)。
- test\_attack\_resistance 函数:存储一个序列和置乱表的空间复杂度为O(N)。

具体的代码我们将与程序代码一同发布在 github 上,这里直接给出结果。截取部分结果展示:

```
77
    79
             62.1 MiB
                             0.0 MiB
                                                            for N in N values:
                                         96
95
95
95
95
95
                                                           for N in N_values:
    start_time = time.time()
    avg_length = average_cycle_length(N, seeds, mu, M)
    end_time = time.time()
    average_lengths.append(avg_length)
    print(f"N={N}, Average Cycle Length={avg_length}, Time taken={end_time - start_time:.4f} seconds")
    81
            62.1 MiB
                             0.1 MiB
                             0.0 MiB
    83
             62.1 MiB
                              0.0 MiB
             62.1 MiB
                             0.0 MiB
                                            plt.plot(N_values, average_lengths)

plt.xlabel('M')

plt.ylabel('Average Cycle Length')

plt.title('Average Cycle Length vs M

plt.grid(True)

plt.show()
             63.4 MiB
                             1.3 MiB
             63.4 MiB
                             0.0 MiB
            63.4 MiB
                             0.0 MiB
                                                            plt.title('Average Cycle Length vs N')
    91
            66.3 MiB
                             2.9 MiB
Sensitivity Test:
Seed: 0.5 and 0.50001
Filename: C:\Users\12989\Desktop\cyber\python\bighomework\first.py
Line # Mem usage Increment Occurrences Line Contents
    94
          66.3 MiB 66.3 MiB 1 @profile
                                                       def test_seed_sensitivity(seed, mu, M, N, epsilon=1e-5):
                                              1
                          0.0 MiB
    96
            66.3 MiB
                                                            sequence1 = logistic_map(seed, mu, M, N)
```

分析结果,得到结论:

## 时间复杂度

- logistic\_map 函数生成序列的时间复杂度为 O(N+M),其中 M 是迭代次数,N 是序列长度。这与内存使用无关,但可能会影响整体运行时间。
- **generate\_permutation 函数**生成置乱表的时间复杂度为  $O(N \log N)$ , 主要由于排序操作。在运行中并没有显示明显的内存增长,表明排序操作相对高效。
- **find\_cycles 函数**查找循环的时间复杂度为 O(N),因为每个元素只访问一次。内存使用没有显著变化,表明该部分代码在内存方面效率较高。

- calculate\_cycle\_properties 函数计算循环性质的时间复杂度为 O(C), 其中 C 是循环的总数。内存使用没有显著变化,说明处理循环的操作内存消耗 较小。
- average\_cycle\_length 函数结合前述所有函数的时间复杂度,该函数的时间 复杂度为  $O(S(N \log N + N + M))$ ,其中 S 是种子的数量。运行时内存变 化较小(62.1 MiB),表明该函数内存占用稳定。
- plot\_average\_cycle\_length 函数绘图的时间复杂度主要取决于循环次数和调用 average\_cycle\_length 函数的时间复杂度。在内存方面,从 62.1 MiB 增长到 66.3 MiB,表明绘图操作占用了额外的内存,但在可接受范围内。
- **test\_seed\_sensitivity 函数**生成两个序列并比较的时间复杂度为 $O(N \log N)$ 。 运行时内存使用为 66.3 MiB,表明内存占用稳定。
- **test\_attack\_resistance** 函数生成一个序列并进行预测的时间复杂度为 $O(N \log N)$ 。 内存使用同样稳定在 66.3 MiB。

## 空间复杂度

- logistic\_map 函数:存储序列的空间复杂度为 O(N),在运行时内存增长不显著,表明生成序列时内存消耗适中。
- **generate\_permutation 函数**:存储置乱表的空间复杂度为 O(N),内存消耗不显著。
- find cycles 函数:存储循环的空间复杂度为O(N),内存消耗不显著。
- calculate\_cycle\_properties 函数: 存储循环性质的空间复杂度为 O(C), 内存消耗不显著。
- average\_cycle\_length 函数: 存储所有种子结果的空间复杂度为 O(SN), 内存消耗较低。
- $plot_average_cycle_length$  函数: 存储所有 N 值结果的空间复杂度为 O(N), 绘图时内存使用有所增加,但仍在可接受范围内。
- **test\_seed\_sensitivity 函数**:存储两个序列和置乱表的空间复杂度为 O(2N),内存消耗适中。
- $test_attack_resistance$  函数: 存储一个序列和置乱表的空间复杂度为 O(N) , 内存消耗适中。

## 瓶颈识别和优化建议

- **排序操作**: generate\_permutation 函数的排序操作是潜在瓶颈,特别是当 N 值较大时。可以考虑优化排序算法或并行化处理以提高效率。
- **序列生成**: logistic\_map 函数中生成序列的部分可能会因为 *M* 值较大而影响性能。可以考虑优化递归计算或使用更高效的生成方法。
- 循环查找: find\_cycles 函数在查找循环时,如果循环结构复杂,可能会影响性能。可以考虑使用更高效的查找算法。

总体来说,代码的内存消耗稳定,时间复杂度分析符合预期。进一步优化可以集中在排序和序列生成部分,以提升整体性能。

## 5 应用前景

混沌置乱算法具有广泛的应用前景,特别是在以下几个领域:

- 信息安全混沌置乱算法可用于图像加密、数据加密和通信加密。由于混沌系统的不可预测性和复杂性,这些加密方法具有很高的安全性。混沌加密在防止数据窃听和篡改方面表现出色,是一种高效的安全加密技术。
- 随机数生成混沌系统可以生成高质量的随机数,这在蒙特卡罗模拟、密码学和随机化算法中具有重要应用。混沌随机数生成器的优点在于其初始值敏感性和长周期性,能够满足高精度和高保密性的需求。
- 图像处理在图像置乱、图像加密和图像水印中,混沌置乱算法有重要应用。
   通过对图像像素进行混沌置乱处理,可以提高图像处理系统的安全性和抗攻击能力,使得攻击者难以破译和篡改图像内容。
- 机器学习混沌系统的非线性和复杂性可以用于改进机器学习算法的随机初始化过程,从而提高模型的性能和稳定性。例如,在神经网络的权重初始化中引入混沌随机数可以避免局部最优问题,提高训练效果。

## 6 结论

本文系统地研究了混沌置乱在信息安全领域中的应用。通过对混沌系统的 理论分析和实际测试,我们证明了混沌置乱具有较高的安全性和对抗攻击能力。 我们的研究不仅深化了对混沌系统的理解,而且为信息安全领域的实践应用提 供了重要参考。未来,我们可以进一步探索混沌置乱在加密算法、数据传输和隐 私保护等方面的应用,以期为信息安全领域的发展做出更多贡献。

## 7 附录

本文中涉及的所有代码详见 github 账号: @JiayuWendy。项目名称: 密码学大作业——混沌置乱。